2軸方向加振下での落橋防止ケーブルの効果について

熊本高等専門学校 正会員 ○岩坪要 株式会社三井 E&S 鉄構エンジニアリング 非会員 佐々木睦 九州大学 正会員 梶田幸秀 熊本大学 正会員 葛西昭

1. はじめに

耐震対策として落橋防止システムは、上部構造の落 橋を防止する目的で設置している 1)2)。この落橋防止シ ステムは、支承が損傷した後の上部構造の過大な移動 を桁かかり長以内に収める目的で設置される。平成 24 年道路橋示方書 (H24 道示) では支承部周辺の装置の性 能が整理され,「橋軸方向は落橋防止構造」,「橋軸直角 方向は横変位拘束構造」としている。設計ではケーブル の必要耐力として死荷重反力の 1.5 倍を規定している が、落橋防止構造の構造詳細部についての規定示され ていない。2016年熊本地震では落橋こそ免れたが高橋 脚を有する曲線橋である大切畑大橋の落橋防止ケーブ ルが破断した³⁾。この被災メカニズムについては、架橋 地点での入力加速度や地盤の変状との総合評価が必要 となるため分析が難しいが、著者らは今後の落橋防止 ケーブルの設計高度化のために,ケーブルの耐震性能 上の効果について検証する2軸方向加振実験を行った。

2. 実験概要

実験で用いた橋梁模型の諸元を表 1,図 1,図 2 に示す。2 軸振動台 (サンエス社製) ステージに固定した橋台上にこの模型を設置し、橋台と模型との間にケーブルを設置して加振し、模型の応答の変化を調べた。入力波形は熊本地震時に Kik-Net 益城で観測された地震波りを振動台の性能に合わせて調整して用いた(図 3 参照)が、相似則は加味しなかった。実験パラメータとして橋台と橋梁の遊間量を 10mm, 5mm, 3mm と変化させ、加振方向は X 軸(橋軸)方向,Y 軸(橋軸直角)方向,X 軸と Y 軸方向の 2 軸同時加振の 3 パターンとした。また、遊間量を 10mm として模型にケーブルを設置した後、遊間量を 7mmに縮めたケースも設定した。なお、模型にはゴム材を固定し、橋台とは分離している。ゴム材の下にはステンレス板を貼り付けており、橋台と模型との間の摩擦を減らしている。

応答変位の計測は、模型に赤外線反射マーカーを貼付し、マーカーの計測空間上の動きをリアルタイムに記録するモーションキャプチャシステム「Venus3D(ノビテック社製)」を用いた。計測データは移動量(変位)を測定するため、速度や加速度への変換や、マーカー点同士の距離や角度、基準点からの相対変位の計算も可能である。サンプリング間隔は100Hzとした。

3. 実験結果

本稿では紙面の都合上,遊間 10mm の結果の一部を図 4~図 6 に示す。

1) 橋軸方向加振(図4)

図 4 に遊間を 10mm の場合のケーブルの設置の有無による変位応答履歴の違いを示す。加振方向とケーブル設置方向が同一であるため、十分なケーブル設置の効果が表れている。これは遊間量を変化させても変わらない結果であった。

2) 2軸同時加振 (図 5, 図 6)

各軸方向加振結果を踏まえ、2軸同時加振を行った。 遊間量を 10mm としたときの測定点1の水平移動履歴 曲線を図5に示す。橋軸方向をX軸に、橋軸直角方向 をY軸に示している。ケーブルを設置することで、大 きく移動量が低減されていることが分かる。図6には 加振途中での速度ベクトルが最大となった時間でのベ クトル図を示す。模型と橋台との間には僅かな摩擦が 生じており、それによって模型の応答が表れており、ケ ーブルを設置することで応答が小さくなっていること がわかる。

4. まとめ

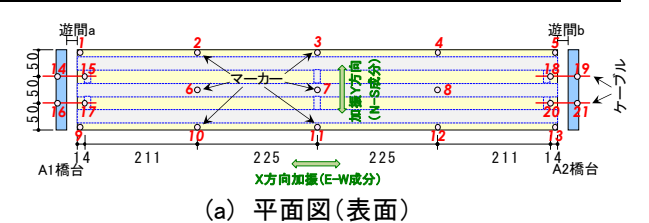
ケーブルにより地震時応答を低減させる効果が確認でき、2軸加振では模型が斜め方向へ移動しようとする動きをケーブルが抑えていることがわかる。従って、落橋防止ケーブルの設計では橋軸直角方向への影響も加味すべきであるといえる。

キーワード: 2016 年熊本地震, 落橋防止ケーブル, 振動実験 連絡先:〒866-8501 熊本県八代市平山新町 2627 国立熊本高等専門学校 Tel: 0965-53-1339 Fax: 0965-53-1349 E-Mail: iwatsubo@kumamoto-nct. ac. jp

I-64

表 1 橋梁模型の材料諸元

部材	寸法諸元(総重量 約 99.8N)
主 桁	角形鋼管 25x25x1.6 L=900mm 3本
横桁	角形鋼管 12x25x1.6 L=20mm 6本
支 点	天然ゴム板 t=10mm 20mmx20mm 9個
床版	アクリル板 t=10mm 150mmx900mm 1枚
	ここまで W=54.792N
鋼板	t=4.5mm 150mmx900mm 45.031N
橋 台	アクリル、鋼板
ケーブル	φ=2.0mm 6×7 破断荷重 2.058kN





(b) 側面図

図1 橋梁模型図

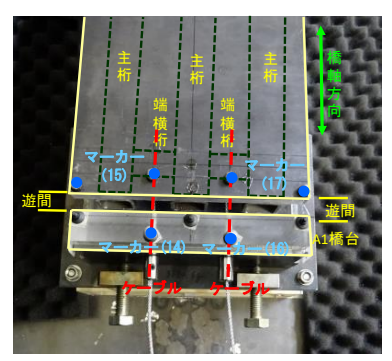


図 2 橋台付近拡大図

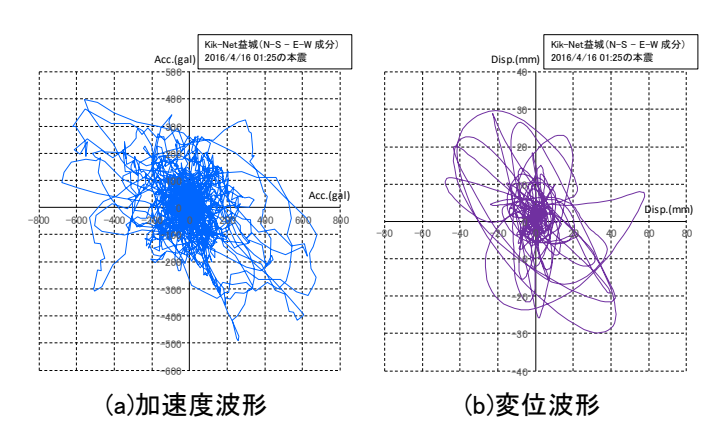
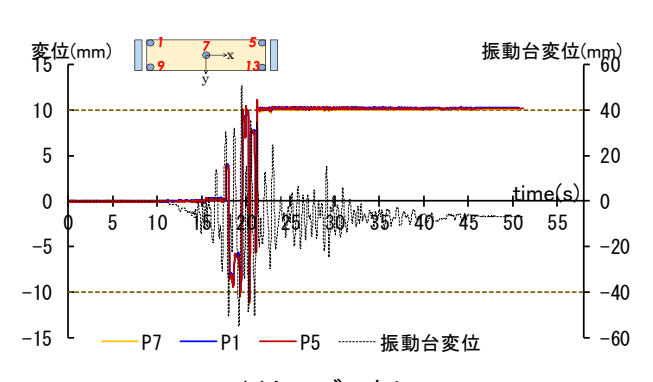


図3 調整波形を入力した振動台の動き



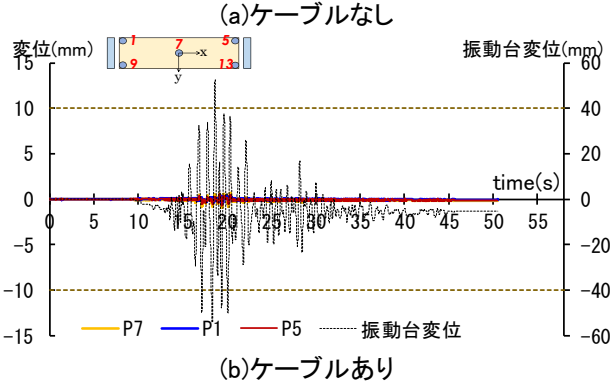


図 4 橋軸方向の変位履歴(遊間 10mm)

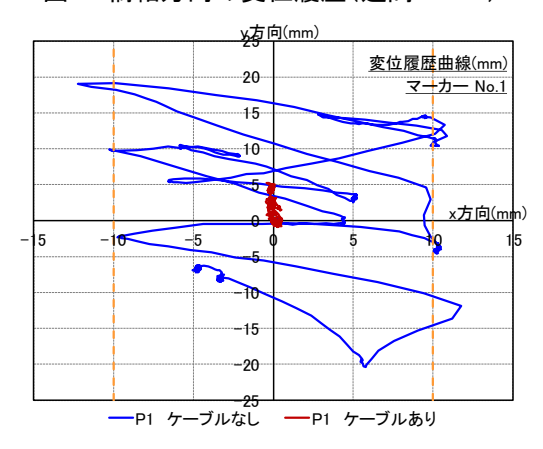
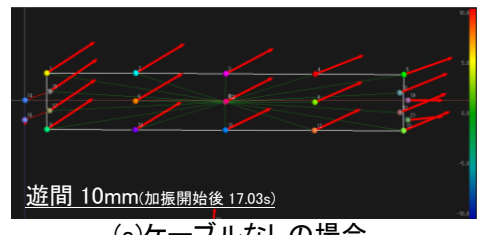
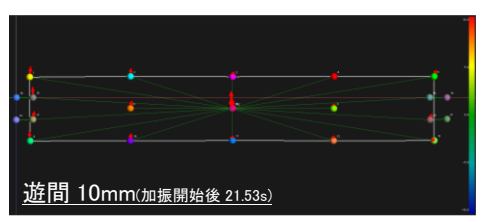


図 5 遊間 10mm の時の変位履歴(2軸加振)



(a)ケーブルなしの場合



(b)ケーブルありの場合

図 6 速度ベクトル(XY 方向同時加振)

【参考文献】1)堺淳一ほか:大規模地震における落橋メカニズムと落橋防止構造の効果に関する分析,土木学会論文集 A1, Vol. 67, pp. 55-71, 2011. 2) 土木研究所: 過去の大規模地震における落橋事例とその分析, 土木研究所資料, 第 4158 号, 2009. 3) 渡邊学歩ほか: 2016 年熊本地震で被災した大切畑大橋の被害,地震工学研究発表会講演論文集, Vol. 36, pp. 1020_1-8, 2016. 4)防災科学研究所:強震観測網データベース (http://www.kyoshin.bosai.go.jp/kyoshin/)